

PORTOKAVAL ANASTOMOZU TAKİBEN KÖPEK ÜRETER-MESANE EPİTELİNDE ERKEN DÖNEMDE ORTAYA ÇIKAN PRENEOPLASTİK DEĞİŞİKLİKLERİ, HEPATİK PERİARTERİYEL NÖREKTOMİ ÖNLÜYOR MU?

Dr. Vedat KIRIMLIOĞLU*
Dr. Sezai YILMAZ*
Dr. Kayhan BAŞAK**
Dr. Cüneyt KAYAALP***
Dr. Mehmet ÇAĞLIKÜLEKÇİ***
Dr. Musa AKOĞLU***

Tümüyle deneysel olarak ortaya konmuş olan portokaval anastomoz sonrası üreter-mesane epitelindeki karsinogenезisin mekanizması diyetteki karsinojenlerin karaciğer tarafından inaktiv edilmemesi ile açıklanır. Bu deneysel çalışmada 8 köpektenden oluşan 1. gruba yan-yanı portokaval anastomoz, 2 gruba ise portokaval anastomozda ek olarak hepatik periarteriyel nörektomi uygulandı. Postop 21. gün relaparotomi yapılarak üreter ve mesane biyopsileri alındı. Feulgen-paraosanilin DNA boyasıyla görüntü analizi sonunda 1. grupta proliferasyon indeksi anlamlı olarak yüksek bulundu. Mevcut çalışma farklı deneysel model kullanılması, portokaval anastomozu takiben 3 hafta gibi erken postoperatif periodda artmış proliferatif indeks gibi preneoplastik ürotelial değişiklikler ve hepatik periarteriel nörektominin bu değişiklikler üzerinde olumlu etkilerini ortaya koyması bakımından literatürde önceliklere sahiptir.

Anahtar kelimeler: Portokaval anastomoz, ürotelial karsinogenez.

Does Hepatic Periarteriel Neuorectomy Prevent the Alterations That Occur in Dog Urothelium at Early Follow up Following Portocaval Anastomosis?

* İnönü Üniversitesi Tip Fakültesi
Genel Cerrahi AD
MALATYA
** GATA Haydarpaşa Eğitim Hastanesi
Patoloji Departmanı
ANKARA
*** Türkiye Yüksek İhtisas Hastanesi
Gastroenteroloji Cerrahi Kliniği
ANKARA

The experimentally well documented mechanism of the urothelial carcinogenesis is related to not be able to inactivate of the dietary carcinogens by the liver after a portocaval anastomosis. In this experimental study, side to side portocaval anastomosis was performed on eight dog-group 1. Second group comprises seven dogs on which a hepatic periarteriel neurectomy was added to side to side portacaval shunt procedure. After a period of 3 weeks, relaparotomy was performed on all dogs and layers of ureter and bladder biopsies were taken. Image analysis with Feulgen- Pararosalyn DNA dye was completed and the proliferation index was found to be high in the first group ($p<0.05$) which was statistically significant.

The present experimental study, first because of being a different dog experimental model, second because of the demonstration of the preneoplastic changes proved by the increased proliferation index even in the third week and thirdly because of the demonstration of the prohibiting effect of the hepatic periarteriel neurectomy upon these preneoplastic changes has a appreciative contribution to the literature .

Key words: Portocaval anastomosis, urothelial carcinogenesis.

Yazışma Adresi:
Dr. Vedat KIRIMLIOĞLU
İnönü Üniversitesi Tip Fakültesi
Genel Cerrahi AD
MALATYA

Portokaval anastomoz (PKA) sonrası ortaya çıkan, renal sirkülasyon ve fonksiyon değişiklikleri ile ilgili çok sayıda yayın olmasına karşılık¹⁻³, bu prosedür sonrası üriner trakta meydana gelen morfolojik değişiklikler üzerinde pek durlmamıştır. İlk olarak Hertz arkadaşları, PKA sonrası üriner trakta ürik asit taşlarının oluştuğundan bahsetmiştir.⁴ Daha sonraları PKA'ı takiben, sadece üriner trakt taşları değil, aynı zamanda üroteliumda oluşan, progressif natürde preneoplastik ve neoplastik değişiklikler de bildirilmiştir.^{5,6}

Tümüyle deneysel olarak ortaya konmuş olan ürotelial karsinogenezin mekanizması, diyetteki karsinogenlerin, PKA sonrası karaciğer tarafından inaktive edilememesi ile açıklanır. Hepatik periarteriel nörekтомinin (HPAN), total karaciğer kan akımını artırıp, karaciğer hücreleri üzerinde olumlu morfolojik ve metabolik etkileri kanıtlanmıştır.⁷⁻⁹ Bu deneysel çalışmada, PKA sonrası ürotelium da görülen preneoplastik, neoplastik değişikliklerin, PKA'a HPAN ilave-siyle önlenip, önlenemeyeceği araştırıldı.

MATERIAL VE METOT

Bu deneysel çalışma Nisan 1997-Haziran 1997 arasında Ankara Üniversitesi Tıp Fakültesi Deney Hayvanları Araştırma Laboratuvarı'nda gerçekleştirildi. Toplam 15 adet, 20-25 kg ağırlığında adi, melez sokak köpeği uygulamaya dahil edildi. Köpeğin cinsiyetine önem verilmemi-di. Karantina işlemleri (kuduz aşısı vs) dışında köpeklerin hazırlanış ve beslenmelerinde bir özellik yoktu. Operasyondan 12 saat önce denekler aç bırakıldı. Başlangıç anestezisi, 5 cc İM Xylazin (Rompun %2, Bayer) ile, operasyon esnasında anestezi gereksinimi 2 cc İM Ketamin HCL (Ketalar 50 mg/ml, Parke-Davis) ile sağlandı. Sterilizasyona maksimum özen gösterilerek proflaktik amaçlı, preoperatif 500 mg Ceftriaxon İM ve 5000 Ü heparin subkutan olarak yapıldı. Orta hat kesileye laparotomi ve abdominal eksplorasyon sonrası 8 köpektен oluşan grup 1' de vena porta ve suprarenal vena cava inferior en az 5 cm kadar mobilize edilerek, proksimal ve distal kısımlar 2/0 ipek sütürlerle kement şeklinde askiya alınıp, kan akımı durduruldu. Daha sonra 5/0 polipro-

plenle devamlı sütürler kullanılarak, yaklaşık 2 cm' lik yanyana PKA gerçekleştirildi. Peritoneal temizlik kompreslerle yapıldı ve karın duvarı 0 numara loop naylonla devamlı olarak kapatıldı. Grup 2'yi oluşturan 7 köpekte ise, bu prosedürlere ek olarak hepatik arter çevresinde en az 2 cm boyunca nörekтомi gerçekleştirildi. Birinci operasyon sonrası köpekler 21 gün yaşatıldı. Bu süre içinde hepatik encefalopati riskinden dolayı, denekler proteinden fakir diyetle beslendi. Yirmibirinci gündə köpeklere relaparotomi yapıldı. PKA'nın tikali olup olmadığı kontrol edildi. Bundan önceki çalışmamızda PKA ve HPAN'in böbrekler üzerinde önemli etkisi görülmemişti⁷, bu çalışmada deneklere nefrekтомi uygulanmadı. Tüm deneklerin en az 5 cm'lik üreteri ve 5 cm²'lik tam kat mesane duvarı rezeke edildikten sonra intrakardiak KCl enjeksiyonuyla sakrifikasyon sağlandı.

Deneklerin üreter ve mesanesi total olarak absolu alkol ile fiks edildi. Üreterden 2'ser ve mesaneden 2'ser adet doku örneği incelemeye alındı. Dokular rutin takipten sonra, parafinle bloklandı, ve her bir bloktan 5 ve 8 µm kalınlığında kesitler hazırlandı.

Kesitlerden 5 µm kalınlığında olanlar rutin Harris Hematoksilen & Eosin ile boyandı, diğer kesitler ise Feulgen-Paraosanilin DNA boyası ile görüntü analizi uygulanmak üzere boyandı.

İnceleme sırasında Zeiss – Axiophot mikroskop ve JVC KY-F55 Color Video Camera ile elde edilen görüntüler, double pentium 100 mikroişlemci, 32 Mbyte RAM, 1 Gbyte hard disk, MAGIC (Matrox Advanced Graphic Imaging Controller) ekran kartı, 17 " Viewsonic monitor donanımı ile, ALCATEL'e ait Windows 3.1 altında çalışan SAMBA IMAGE ANALYSIS yazılımı kullanılarak, Ploidy Analysis yapıldı.

İnceleme sırasında 8 µm kalınlığında Feulgen-Paraosanilin ile boyanmış kesitlerde, 100 büyütme ile her bir kesitten mesane için ortalama 129 adet üreter için 45 adet hücre değerlendirildi. Ekstrensek kontrol olarak, rat karaciğerinden hazırlanan imprintler kullanıldı. İntrensek kontrol olarak subepitelial alandaki lenfositler seçildi.

İncelemenin doku kesitlerinde yapılması nedeni ile ölçümllerin yapılacak nükleuslar manuel olarak seçildi. Üroteliumun değerlendirilmesi sırasında yüzeydeki diploid hücreler, değerlendirme dışında tutuldu. Seçimler sırasında teknik engellerin ölçümü mümkün kılmadığı nükleuslar dışında, tüm nükleuslar cell gallery kullanılarak değerlendirildi.

Değerlendirmeler sonucunda ploidi balansı (ploidy balance), hiperploidi derecesi, proliferasyon indeks, anöploidi derecesi ve DNA indeksi saptandı. Grup 1 ve grup 2'ye ait elde edilen değerler Mann-Whitney U testi ile karşılaştırıldı ve $p<0.05$ değerleri istatistik olarak anlamlı kabul edildi.

BULGULAR

Spesmenlerin gross incelemesinde makroskopik olarak herhangi bir özellik saptanmadı. Ayrıca relaparatomı esnasında, parsiyel mesane rezeksiyonu yaparken, mesane içinde taş ve kuma rastlanmadı.

Harris Hematoksilen & Eosin ile boyanan kesitlerin mikroskopik incelemesinde, morfolojik değişiklikler izlenmedi.

Her 2 gruba ait mesane dokusunun DNA boyasıyla görüntü analizi sonucunda elde edilen çeşitli parametrelere ait verilerin karşılaştırılması ile aşağıdaki sonuçlar elde edildi (Şekil 1 ve 2):

1. Ploidi balansı: Anöploid hücrelerin öploid hücrelere oranını ifade eder. Her 2 grup arasında anlamlı fark saptanmadı ($p>0.05$).
2. Hiperploidi derecesi: 2 n üzerindeki genetik materyal içeren hücrelerin tüm hücrelere oranını ifade eder. Her 2 grup arasında anlamlı fark yoktu ($p>0.05$).
3. Proliferasyon indeks: Proliferasyondaki hücrelerin tüm hücrelere oranını ifade eder. Grup 2'de grup 1'e göre anlamlı olarak daha düşük proliferasyon indeksine rastlandı ($p=0,0357$, $p<0.05$).

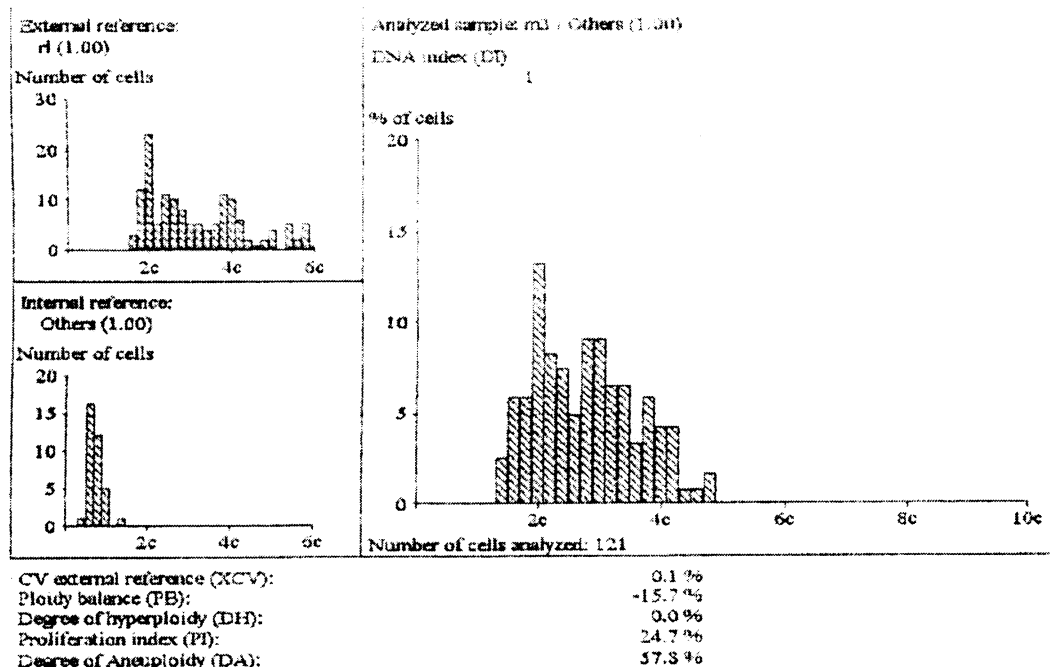
4. Anöploidi derecesi ; $2n$ 'den daha az veya daha fazla miktarda genetik materyal içeren hücrelerin tüm hücrelere oranında anlamlı fark yoktu ($p>0.05$).
5. DNA indeksi: Doku analizi ile elde edilen çan eğrisinde pik noktasına karşılık gelen hücrelerin DNA içeriğini ifade eder. Her 2 grup arasında anlamlı fark yoktu ($p>0.05$).

Üreter epitelinin incelemesinde yukardaki parametreler yönünden her 2 grupta herhangi bir farklılık saptanmadı.

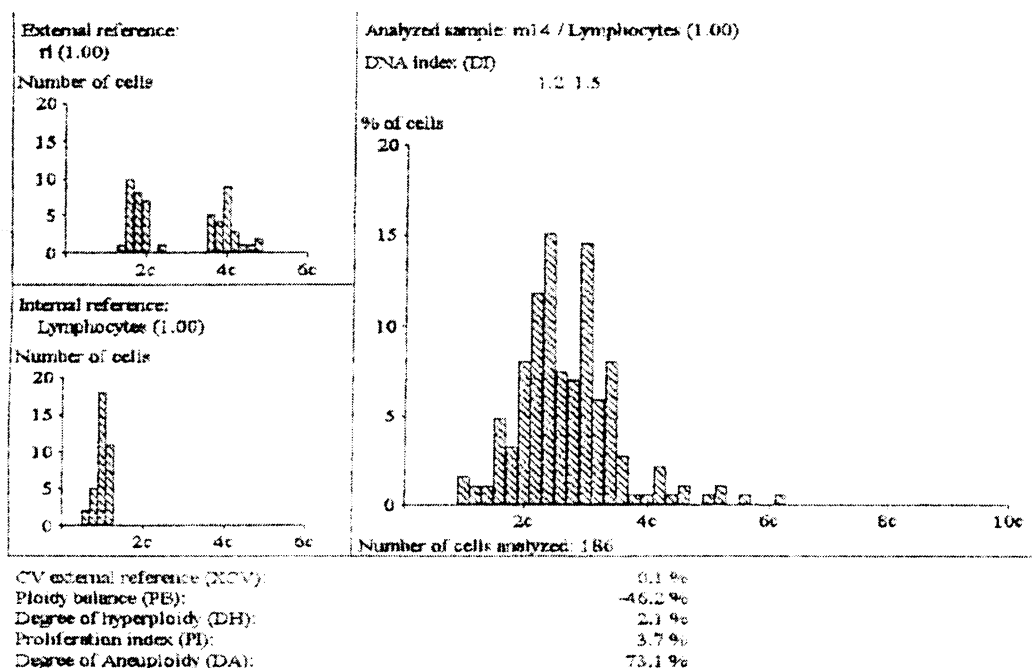
TARTIŞMA

HPAN'ın PKA gibi portal venöz akımı azaltan bir stimülüs mevcudiyetinde, total hepatik kan akımını artırdığı⁸, karaciğer hücre metabolizmasını etkileyerek lipopeksi fonksiyonu üzerinde inhibitör, glikopeksi fonksiyonu üzerinde aktivatör rolü oynadığı bilinmektedir.¹⁰ Deneysel oluşturulan karaciğer sirozunda HPAN ile karaciğer hücre regenerasyonu hızlanıp, mevcut nekrozozlar sınırlanarak nedbeleşme sağlanmıştır. Ayrıca karaciğer hücrelerinin direncini artırarak ornitin dekarboksilaz (ODC) aktivitesini azalttığı gösterilmiştir. HPAN'ın PKA sonrası kan amonyak seviyelerini düşürüp, karaciğer hücreleri üzerine olumlu morfolojik etkileri son çalışmamızda gösterilmiştir.⁷ Mevcut çalışmada "HPAN'ın olumlu etkilerinin, PKA sonrası üroteliumda ortaya çıkması olası preneoplastik değişikliklere nasıl yansıyacağı" konusu araştırıldı. Teorik olarak, HPAN'ın ODC aktivitesini azaltması, karsinogenezisin promotoru olarak anılan bu enzim üzerinden preneoplastik veya neoplastik değişiklikleri önleyebileceğini düşündürür. Çalışmamızda, HPAN'ın PKA'a ilavesi mesane dokusunun proliferasyon indeksini normal sınırlara çekmiştir. Her iki grup arasında anöploidi, kilitatif olarak farklı olarak gözlenmesine rağmen, istatistiksel anlam farkı elde edilemedi. Bu durum çalışmamızda denek sayısının azlığına bağlanabilir.

Kirimlioğlu ve ark



Şekil 1. Grup 1'e ait görüntü analizi verileri



Şekil 2. Grup 2'ye ait görüntü analizi verileri

PKA prosedürleri çocuk ve gençlerde uzun zamanдан beri yapılmakta olup, uzun süreli yaşam süreleri bildirildiği halde¹¹⁻¹⁵, şimdije ka-

dar bu hastalarda ürotelial kanser bildirilmemiştir. Tümü deneysel rat modellerinde ortaya konan PKA sonrası ürotelial değişikliklere, en

erken 2. ayda rastlanmıştır.¹⁵ Mevcut çalışma hem farklı deneysel model kullanılması, hem de 3 hafta gibi erken bir periodda üretelial değişiklıkların araştırılması bakımından özellikle taşımaktadır.

Mori ve Yamaguchi'nin çalışmasında¹⁶ PKA sonrası 2. ayda rat üreteliumu 4-5 hücre kalınlığına erişmiş, 3. ayda intravesikal taşlarla beraber hiperplastik proces başlamıştır. Dördüncü ayda süperfisiel ve intermediate hücrelerin fokal skuamöz metaplazisine ek olarak, artmış hiperplazinin kanıtları mevcuttu. Beşinci ayda displazi, 12. ayda ise inverta papiller tümör saptanmıştır. Jaffe ve arkadaşları ise, pankreatiko-lineal portal diversyon uyguladıkları 136 ratın 16 aya varan izlemeleri sonrası, %28'inde mesane taşı, %12'sinde üretelial tümör ortaya koymuşlardır.⁶ Wallace'in çalışmasında 12-16 ay izlenen ratlarda mesane taşı %62, tümör ise %27 oranında görülmüştür.¹⁷ Diete triptofan ilavesi taş görme oranını artırılmış, fakat üretelial neoplazi tesbit edilmemiştir. Mevcut çalışmada ise görüntü analizi yöntemi gibi ileri bir teknolojik yaklaşım uygulanarak üç hafta gibi kısa bir sürede PKA sonrası köpek üreteliumunda proliferatif indeks artışı saptanmıştır.

Ratlarda PKA sonrası, üretelial karsinogenezisin mekanizması ile ilgili mevcut çalışmaların sonuçları, üretelial tümör indüksiyonunda tek bir sorumlu faktör olmayacağı yönündedir. Portal diversyon ve mesane kanseri arasındaki ilişkiye açıklamada, Hicks tarafından tamamlanmış olan "Mesane karsinogenezisinin, multistage, multifaktöriel konsepti" en geçerli yaklaşımındır.¹⁸ Bu konsepte göre portal kanın, sistemik sirkülasyona diversyonu, normalde karaciğer tarafından inaktive edilen karsinogenezisin başlatıcılarının, hatta karsinogenlerin, hedef organlarına ulaşmasına olanak sağlar. Ayrıca bozulmuş karaciğer metabolizması sonucu ortaya çıkan intravesikal taşlar, vitamin A eksikliği ve artmış ODC aktivitesi de mesane kanserinin başlatıcı etkenleridir. Bu faktörlerin kombinasyonu, uzun süreli portal akımı saptırılmış edilmiş ratlarda, invaziv üretelial tümör oluşturmak için yeterlidir. PKA sonrası 6. ayda vitamin A

seviyelerinde düşme ve üretelial ODC aktivite artması bildirilmiştir.^{16, 18}

Bu deneysel çalışmada üreter epitelinde herhangi bir değişiklik saptanmadı. Diğer çalışmalar da mesane epitelinde hiperplazi, papillom, transisionel hücre tipi ve invaziv karsinom tesbit edildiği halde^{6, 16} üreter epitelinde bu değişikliklerden bahsedilmemiştir. Karaciğerde inaktive edilemeyen karsinogenlerle mesane epitelinin daha uzun bir süre temas etmesi, üreteliumun bu kısmında, değişikliklerin daha yüksek oranda görülmemesini izah edebilir.

Mevcut çalışma farklı deneysel model (köpek) kullanılması, PKA'yı takiben 3 hafta gibi erken postoperatif periodda artmış proliferatif indeks gibi preneoplastik üretelial değişiklıkların ve HPAN'ın bu değişiklikler üzerinde olumlu etkilerini ortaya koyması bakımından literatürde önceliklere sahiptir.

KAYNAKLAR

1. Hori M, Austen WG, Mc Dermott WV. Role of hepatic arterial blood flow and hepatic nerves on renal circulation and function: 1. Acute studies in the dog. Ann Surg 1965; 162: 849-62.
2. Hori M, Austen WG, Mc Dermott WV. Role of hepatic arterial blood flow and hepatic nerves on renal circulation and function: 1. Chronic studies in the dog. Ann Surg 1965; 162: 949-58.
3. Romeo JM, Lopez-Ferre A, Martin-Paredero V, Lopez-Novoa JM. Renal function derangements induced by portocaval anastomosis in normal rats. Eur Surg Res 1991; 23: 195-200.
4. Herz R, Sauter V, Bircher J. Fortuitous discovery of urate nephrolithiasis in rats subjected to porto-caval anastomosis. Experientia 1997; 28: 27-8.
5. Dubuisson L, Vonmahme FJ, Balabaud C, Grun M. Neoplastic surface changes in urothelium of rats after portocaval anastomosis. A combined light and scanning electron microscopic study. Ex Patol 1984; 26: 49-58.
6. Jaffe V., Alexandre B, Price AB, Zanelli ED. The induction of bladder cancer in portally diverted rats. Br J Cancer 1992, 66 : 470-3.
7. Yılmaz S. Portokaval şant yapılan köpeklerde hepatik periarteriel nörektoninin karaciğer morfolojisini ve fonksiyonlarını üzerine etkileri. Gastroenteroloji Cerrahisi Uzmanlık Tezi, 1997.
8. Smith GW, Zug RC, Wilson SK. Periarterial neurectomy of the hepatic artery. Am J Surg 1967; 113: 117-23.
9. Kayabali İ, Zayıfoğlu H, Acar H. Cholangiolite chronique traitée par neurectomie per artere hepatische: résultat de 24 ans. Lyon Chir 1983;79:426-7.
10. Kayabali İ. Arteria hepatica çevresinde yapılan nörektoni. Kayabali İ ed. Arteria Hepatica Cerrahisi. Ank. Ünv. Tip Fak. Yay., 1982: 169-210.
11. Bismuth H, Franco D, Alagille D. Portal diversion for portal hypertension in children . Ann Surg 1980; 192: 18-24.
12. Coran AG, Wesley JR, Weintraub WH. The central splenorenal shunt for portal hypertension in children: Experience with eight consecutive patent anastomoses. J Pediatr Surg 1980; 15: 827-34.
13. Narmon LM, Dunn SP, Vinocur CD et al. Successful splenorenal shunt for emergent control of variceal bleeding in a small child. Pediatr Surg 1992; 27: 1049-50.

Kirimlioğlu ve ark

14. Van Vroonhoven TJ.,Molenaar JC. Distal splenorenal shunt for decompression of portal hypertension in children with cystic fibrosis. *Surg Gynecol Obstet* 1979; 149: 559-60.
15. Alvarez F, Bernard O, Brunelle F et al. Portal obstruction in children II. Results of surgical portosystemic shunts. *J Pediatr* 1983; 103:703-7.
16. Mori K, Yamaguchi Y. Preneoplastic changes in rat urothelium following portacaval anastomosis. *J Surgical Oncology* 1989; 103: 703-7.
17. Wallace DMA, Ackerman D, Davis B, Hartmann WH. Urothelial carcinogenesis and portacaval anastomosis in the rat. *Urol Res* 1987; 15: 195-7.
18. Hicks RM. Multistage carcinogenesis in the urinary bladder. *Br Med Bull* 1980; 36: 39-46.